

A CARACTERÍSTICA DE EULER-POINCARÉ

JEAN-PAUL BRASSELET E NGUYỄN THỊ BÍCH THỦY

RESUMO. Dê a César o que é de César e a Descartes o que é de Descartes.

1. INTRODUÇÃO

Netse artigo, vamos introduzir a característica de Euler-Poincaré, de uma maneira elementar, assim que historicamente. Veremos também porque deveria chamar-se de característica de Descartes-Poincaré.

Todos espaços serão compactos, sem bordo. Vamos trabalhar essencialmente com superfícies suaves e orientáveis. Porém, olharemos também superfícies singulares ou não orientáveis. Daremos também alguns resultados que estendem-se no caso de dimensão maior do que 2.

O artigo de Elon Lima [Li] sobre a característica de Euler-Poincaré, publicado no primeiro número da Revista Matemática Universitária, fornece definições equivalentes desta invariante.

2. O TEOREMA DE DESCARTES-EULER

O nome de “característica de Euler-Poincaré” vem do anúncio de Leonhard Euler, numa carta a um amigo, Goldbach (1751) do resultado seguinte:

Teorema 2.1. Seja K uma triangulação (Definição 2.3) da esfera \mathbb{S}^2 , com números n_0 de vértices, n_1 de segmentos e n_2 de triângulos, então temos

$$(2.2) \quad n_0 - n_1 + n_2 = 2.$$

Na figura 1, temos dois exemplos de triangulações da esfera \mathbb{S}^2 nos quais se pode verificar a relação (2.2). Pela triangulação do cubo, temos

$$n_0 - n_1 + n_2 = 8 - 18 + 12 = 2.$$

Pelo tetraedro, temos

$$n_0 - n_1 + n_2 = 4 - 6 + 4 = 2.$$

De fato, Euler nunca deu uma prova correta deste resultado. Além disso, o resultado já era provado por Descartes (1639). Descartes morreu em 1650. O editor de Descartes comunicou os manuscritos de Descartes com Leibnitz, que ficou em Paris de 1672 até 1676. Leibnitz tinha vontade de publicar o manuscrito "De solidorum elementis" de Descartes, mas nunca concretizou este projeto. Em 1703, E. de Jonquières publicou uma "Notes aux Comptes Rendus de l'Académie des Sciences" [dJ1] onde ele contou a história do manuscrito (seguido Foucher de Carell [Fo]) e mostrou que Descartes já conheceu a relação (2.2) chamada de Euler. Alguns autores dizem mesmo que Archimedes já conheceu o resultado.

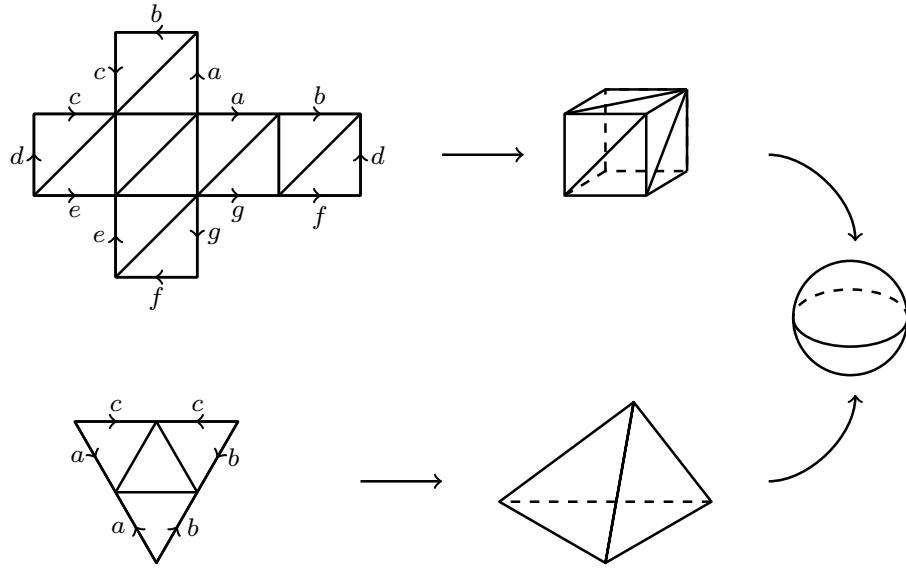


FIGURA 1. Triangulações da esfera.

Houve muitas provas da fórmula. O site web [Epp] fornece 19 provas possíveis, incluindo as provas de Descartes (usando ângulos) e de Cauchy. De fato, depois de Descartes, uma das primeiras provas e mais bonita foi dada por Cauchy (1811). Vamos dar aqui uma idéia desta prova. Antes disso, precisamos providenciar algumas definições.

Vamos considerar poliedros particulares, isto é, poliedros munidos de uma triangulação no sentido seguinte: Um poliedro será a união (num espaço euclidiano \mathbb{R}^n) de um conjunto finito de “simplexos”: triângulos (simplexos de dimensão 2, denotados por σ^2), segmentos (simplexos de dimensão 1, denotados por σ^1) e vértices (simplexos de dimensão 0, denotados por σ^0), tais que cada face de um simplexo é um elemento do poliedro e para todo par σ_i, σ_j de simplexos, a intersecção é seja vazia, seja uma face comum de σ_i e σ_j . A união dos simplexos do poliedro é um subespaço topológico compacto de \mathbb{R}^n denotado por $|K|$.

Os poliedros serão visualizados seja num espaço euclidiano (em geral \mathbb{R}^3 - veja os exemplos do cubo ou do tetraedro na figura 1), ou seja sub a forma de representação plana. Neste caso, o bordo da figura consiste em segmentos que são identificados com uma orientação dada (veja as representações planas do cubo e do tetraedro na figura 1).

Uma observação importante é que numa representação plana dum poliedro de dimensão 2, são proibidos os triângulos seguintes (figura 2): O primeiro daria um segmento AB no poliedro e o segundo um triângulo ABC somente, e não dois triângulos como esperado.

Os desenhos na Figura 2 são permitidos.

Definição 2.3. Uma triangulação da esfera é o dado de um poliedro (triangulado) K e de um homeomorfismo $h : |K| \rightarrow X$.

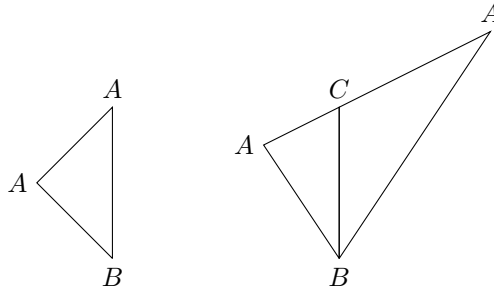


FIGURA 2. Triângulos proibidos.



FIGURA 3. Triângulos permitidos.

Agora, vamos à prova do Cauchy. A primeira observação é que, se tiramos um ponto $\{pt\}$ da esfera, então o resto $\mathbb{S}^2 \setminus \{pt\}$ é contractível num ponto.

Vamos fazer a conta $n_0 - n_1 + n_2$ pelo poliedro K que representa uma triangulação da esfera \mathbb{S}^2 . Numa primeira etapa, tiramos um triângulo (aberto) σ^2 , então já temos 1 na conta de n_2 . Vamos chamar de B o buraco assim formado (veja figura 4).

A segunda etapa consiste em duas operações que vamos descrever:

O bordo de B está constituído de três segmentos σ_i^1 com a seguinte propriedade : Cada σ_i^1 é uma face de um triângulo σ_i^2 que tem somente o segmento σ_i^1 como face comum com o buraco B .

A operação “I” consiste a tirar tal triângulo σ_i^2 junto com o segmento σ_i^1 correspondente e assim o buraco se estende.

Qual é a consequência da operação “I” sobre a soma $n_0 - n_1 + n_2$?

Claramente, a operação “I” não muda a soma $n_0 - n_1 + n_2$ porque ela diminui n_1 e n_2 de 1, então $n_0 - n_1 + n_2$ fica igual.

Continuando o processo, chegaremos à situação da figura 5, onde um triângulo (aqui τ^2) tem duas faces (segmentos) comuns τ_i^1 e τ_j^1 com o buraco.

A operação “II” consiste a tirar tal triângulo τ^2 junto com os dois segmentos τ_i^1 e τ_j^1 e com o vértice τ^0 que é face comum de τ_i^1 e τ_j^1 . Assim, o buraco se estende.

Qual é a consequência da operação “II” sobre a soma $n_0 - n_1 + n_2$?

Claramente, a operação “II” não muda a soma $n_0 - n_1 + n_2$ porque ela diminui n_0 e n_2 de 1 e diminui n_1 de 2, então $n_0 - n_1 + n_2$ fica igual.

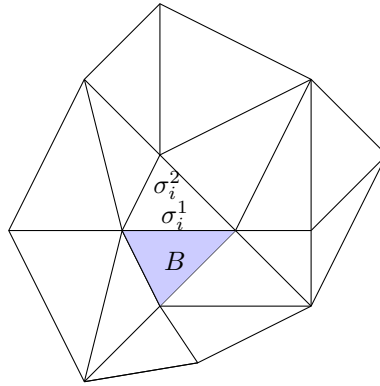


FIGURA 4. A operação “T”.

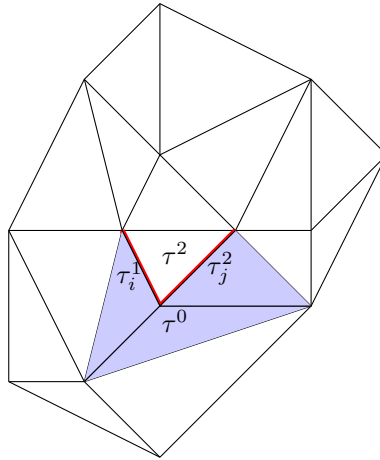


FIGURA 5. A operação “II”.

Continuando este processo, pelas operações “T” e “II” temos de cuidar que o bordo do buraco seja sempre uma curva “simples” (homeomorfa a um círculo) ao fim de ficar com uma figura conexa. Sabendo que $S^2 \setminus B$ é contractível, chegamos a tirar todos triângulos ao menos do último que fica sozinho (veja figura 6).

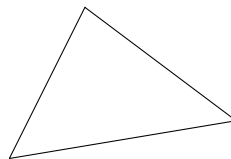


FIGURA 6. O último triângulo.

Nesta última etapa, a conta de $n_0 - n_1 + n_2$ pelo último triângulo dá :

$$n_0 - n_1 + n_2 = 3 - 3 + 1 = 1.$$

Mas, não esqueçamos que, na primeira etapa, tiramos um triângulo, que contribui a n_2 . Então o total está bem

$$n_0 - n_1 + n_2 = 2,$$

o que prova o resultado.

Observamos que o resultado vale para poliedros não necessariamente triangulados. Mais precisamente, temos o teorema :

Teorema 2.4. Seja P um poliedro homeomorfa à esfera \mathbb{S}^2 . Sejam n_0 o número de vértices, n_1 o número de arestas (segmentos) e n_2 o número de polígonos de dimensão 2, então

$$n_0 - n_1 + n_2 = 2.$$

A prova deste resultado consiste a “triangular”os polígonos e mostrar que a soma $n_0 - n_1 + n_2$ não muda pelo processo. Suponhamos que os vértices dum polígono são os pontos $a_1, a_2, a_3, a_4, \dots, a_k$.

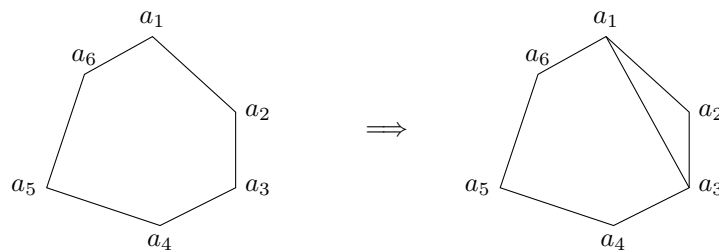


FIGURA 7. Triangulação dum polígono.

Se juntamos os pontos a_1 e a_3 por um segmento, para formar um triângulo (a_1, a_2, a_3) , temos uma subdivisão do polígono $(a_1, a_2, a_3, a_4, \dots, a_k)$ em um triângulo (a_1, a_2, a_3) e um novo polígono $(a_1, a_3, a_4, \dots, a_k)$. O número de polígonos sube de 1 e também o número de arestas (temos uma nova aresta (a_1, a_3)). Então a soma $n_0 - n_1 + n_2$ não muda. Continuando este processo duma maneira óbvia, obtemos um poliedro triangulado e terminamos com a prova anterior de Cauchy.



FIGURA 8. Poliedros de balões de esportes.

Assim, o desenho dum balão de futebol (figura 8) é um exemplo de poliedro (não triangulado) que satisfaz a fórmula. Isso vale para os poliedros desenhados nos outros balões de esporte !

3. O TORO E DEMAIS SUPERFÍCIES

3.1. **O Toro \mathbb{T} .** Podemos calcular a característica de Euler-Poincaré do toro da mesma maneira do que a a característica de Euler-Poincaré da esfera.

A representação plana do toro é desenhada na figura 9.

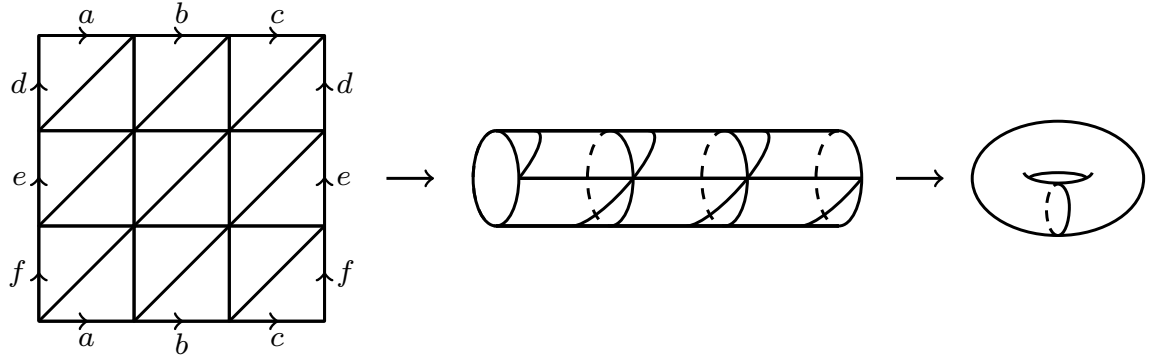


FIGURA 9. Representação plana do toro.

Assim temos

$$n_0 - n_1 + n_2 = 9 - 27 + 18 = 0.$$

Para mostrar que esta quantidade não depende da triangulação do toro, podemos usar a mesma técnica do que pela esfera, seguindo a prova de Cauchy :

Numa primeira etapa, tiramos um triângulo (aberto) σ^2 , então já temos 1 na conta de n_2 (Figura 10).

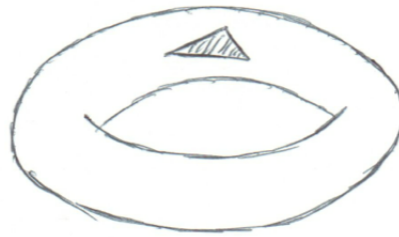


FIGURA 10. Tiramos um triângulo do toro.

O buraco assim efetuado se estende, usando as operações “I” e “II” (Figuras 11 e 12) efetuando a extensão no sentido das flechas.

Agora, temos a figura de duas faixas, coladas e trianguladas como indicado na figura 13.

Fora do cruzamento das faixas, o uso das operações “I” e “II” é óbvio. No cruzamento, se usa a operação “I” (Figura 14 e depois a operação “II”). Obtemos o desenho da Figura 15.

Tirando o segmento que fica e o vértice correspondente não muda a soma $n_0 - n_1 + n_2$.



FIGURA 11. Extensão do buraco - I.



FIGURA 12. Extensão do buraco - II.

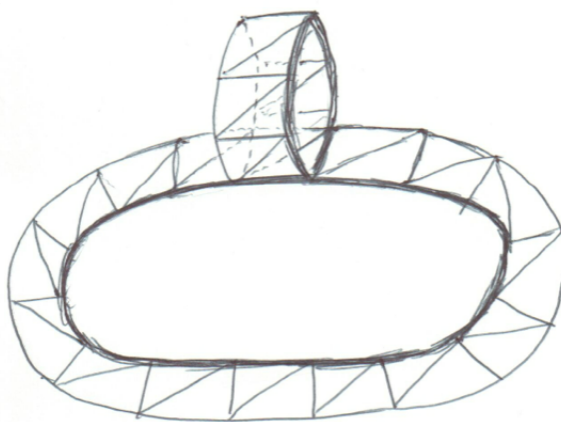


FIGURA 13. As faixas.

Agora, temos dois círculos com um ponto comum (Figura 16). Qualquer triangulação desta figura fornece um número k de vértices e $(k+1)$ de segmentos. Então, para esta figura, $n_0 - n_1 + n_2 = -1$. Mas, não esqueçamos que, na primeira etapa, tiramos um triângulo, que contribui a n_2 . Então o

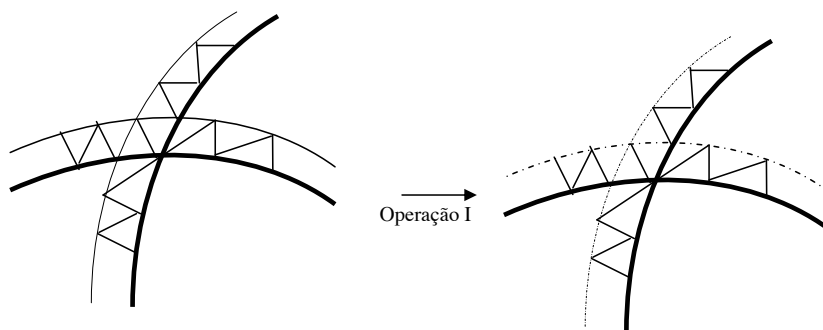


FIGURA 14. Operação “T” perto do cruzamento das faixas.

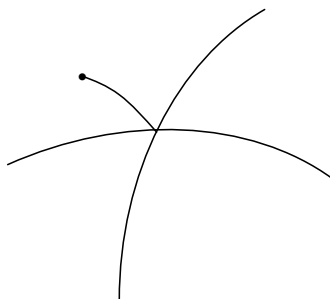


FIGURA 15. A figura depois das operações “T” e “II”.

total está bem

$$n_0 - n_1 + n_2 = 0,$$

qualquer que seja a triangulação do toro.

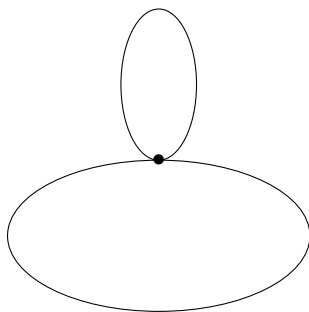


FIGURA 16. A figura final.

Na seguinte, denotaremos por $\chi(\mathcal{S})$ a característica de Descartes-Poincaré de uma superfície \mathcal{S} .

Usaremos também noções de gênero e de soma direta.

O *gênero* g de uma superfície (orientável ou não) é o número máximo de círculos que se pode desenhar sobre a superfície sem a desconectar.

A soma conexa de duas superfícies significa que tiramos um disco de cada uma das superfícies e que colamos as superfícies ao longo dos círculos obtidos (bordos dos buracos que fizemos) (veja figura 17).



FIGURA 17. Soma conexa.

4. SUPERFÍCIES ORIENTÁVEIS E NÃO ORIENTÁVEIS

4.1. Orientação. Denotamos por a_i os vértices dos simplexos (vértices, segmentos e triângulos). Quando definimos uma ordem pelos vértices de segmentos (tais que (a_0, a_1)) e de triângulos (tais que (a_0, a_1, a_2)), denotamos os respectivamente por $[a_0, a_1]$ ou $[a_1, a_0]$ no caso do segmento e, por exemplo, $[a_0, a_1, a_2]$ ou $[a_1, a_2, a_0]$, etc... no caso do triângulo.

Dar uma ordem $[a_0, a_1, a_2]$ dos vértices de um triângulo, defina uma orientação do triângulo (Figura 18) :

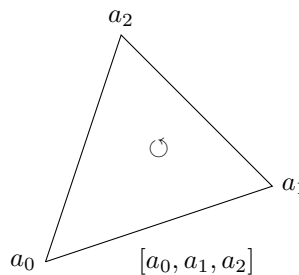


FIGURA 18. Orientação do triângulo.

Fazendo uma permutação de ordens (por exemplo $[a_0, a_2, a_1]$), defina a orientação oposta.

Denotamos $[a_0, a_2, a_1] = -[a_0, a_1, a_2]$ (veja Figura 19).

Uma segunda permutação (por exemplo $[a_2, a_0, a_1]$) dá a volta da orientação original.

Assim, podemos definir uma relação de equivalência sobre ordens: duas ordens são equivalentes se, e somente se, podemos passar de uma à outra por um número par de permutações. Podemos dar a definição da orientação:

A *orientação* de um simplexo é uma classe de equivalência de ordens pela relação acima.

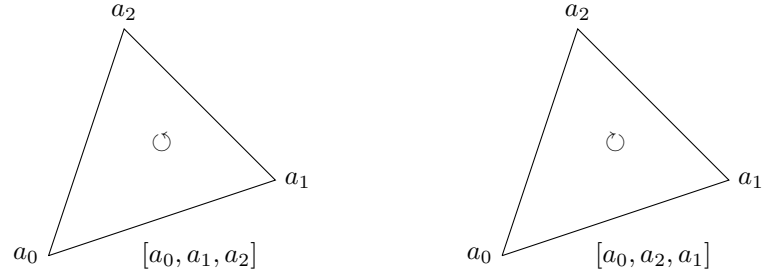


FIGURA 19. Orientações do triângulo.

4.2. **Orientação das faces.** Seja $\sigma = [a_0, a_1, a_2]$ um triângulo orientado (pela ordem dada).

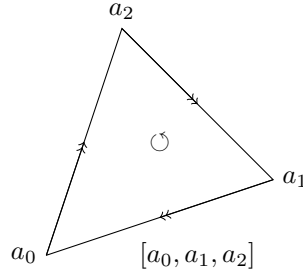


FIGURA 20. Orientações das faces do triângulo.

A noção intuitiva da orientação do bordo de σ corresponde a:

$$[a_0, a_1] + [a_1, a_2] + [a_2, a_0],$$

(veja Figura 20).

Observamos que $[a_2, a_0] = -[a_0, a_2]$ (orientação oposta). Assim o bordo orientado de $\sigma = [a_0, a_1, a_2]$ pode se escrever

$$[a_1, a_2] - [a_0, a_2] + [a_0, a_1] = [\widehat{a}_0, a_1, a_2] - [a_0, \widehat{a}_1, a_2] + [a_0, a_1, \widehat{a}_2],$$

onde, por exemplo, \widehat{a}_0 significa que a_0 não é presente em $[a_1, a_2]$. Então o bordo orientado de $\sigma = [a_0, a_1, a_2]$ é

$$\sum_{i=1}^3 (-1)^i [a_0, \widehat{a}_i, a_2].$$

4.3. **Orientação compatível.** Sejam $\sigma = (a_0, a_1, a_2)$ e $\sigma' = (b_0, a_1, a_2)$ dois triângulos com uma face comum (a_1, a_2) (Figura 21).

Toda orientação de σ , por exemplo $[a_0, a_1, a_2]$, define uma orientação sobre σ' , que chamaremos de *orientação compatível*, tal que a face comum (a_1, a_2) têm orientações opostas como faces de σ e σ' .

Esta definição corresponde à noção intuitiva da compatibilidade de orientações.

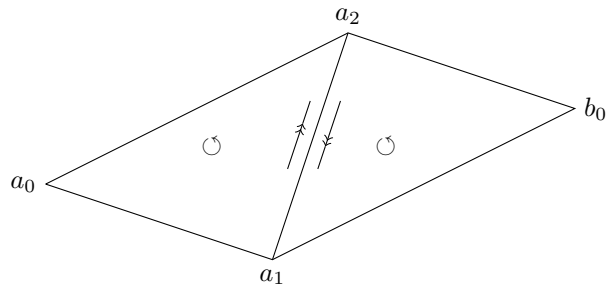


FIGURA 21. Orientações compatíveis.

4.4. **Orientação de poliedros.** Seja K um poliedro compacto, conexo de dimensão 2. Sejam dois simplexos σ, τ de dimensão 2, podemos escolher cadeias de 2-simplexos

$$\sigma = \sigma_0, \sigma_1, \dots, \sigma_i, \sigma_{i+1}, \dots, \sigma_k = \tau$$

tais que para todo $i = 0, \dots, k - 1$, os dois simplexos σ_i e σ_{i+1} têm uma face comum de dimensão 1.

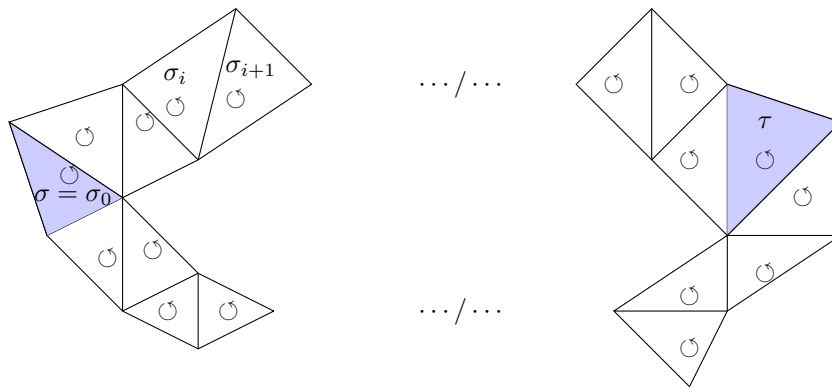


FIGURA 22. Cadeias de simplexos.

Escolhendo uma orientação de σ e uma cadeia de σ a τ , obtemos uma orientação de τ , pedindo que para todo $i = 0, \dots, k - 1$, os dois simplexos σ_i e σ_{i+1} têm orientações compatíveis.

A orientação obtida pelo triângulo τ é chamada de *orientação induzida sobre τ* a partir da orientação de σ ao longo da cadeia de 2-simplexos.

Definição 4.1. Um poliedro K de dimensão 2, compacto, conexo é *orientável* se para todo par de triângulos (σ, τ) , a orientação induzida sobre τ a partir da orientação de σ não depende da cadeia de simplexos escolhida.

4.5. **Superfícies orientáveis.** Uma superfície triangulada por um poliedro K é orientável se e somente se o poliedro K é orientável.

As superfícies orientáveis são homeomorfas seja a esfera \mathbb{S} , seja ao toro \mathbb{T} , seja ao “o toro de gênero g ” (Figura 23).

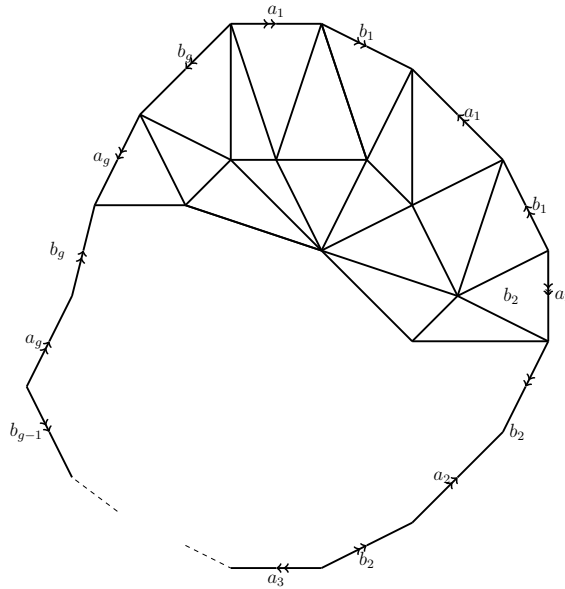


FIGURA 23. Representação plana do toro de gênero g . De fato, a figura tem de ser subdividida com a observação das figuras 2 e 2, o que não fizemos aqui para ter uma figura mais leve.

O gênero da esfera \mathbb{S} é 0 : qualquer círculo desenhado sobre a esfera a desconecta. O gênero do toro \mathbb{T} é 1 (é possível desenhar um círculo no toro sem o desconectar (Figura 24), mas se a gente desenhar um segundo círculo qualquer, o toro será desconectado).

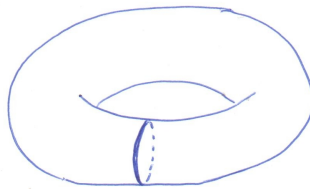


FIGURA 24. O toro é de gênero 1

A característica de Euler-Poincaré de uma superfície orientável de gênero g vale $2 - 2g$ (Simon Antoine-Jean Lhuillier [Lhu], 1812).

O toro de gênero g é a soma conexa de um toro de gênero $g - 1$ e do toro.

Uma superfície compacta sem bordo é orientável se e somente se ela pode ser mergulhada em \mathbb{R}^3 .

4.6. Superfícies não orientáveis. As superfícies não orientáveis bem conhecidas são a *garrafa de Klein* e o espaço projeto \mathbb{P}^2 .

O espaço projetivo \mathbb{P}^2 é o conjunto de todas retas do espaço euclidiano \mathbb{R}^3 passando pela origem. Uma maneira fácil para representar o espaço projetivo é de considerar em \mathbb{R}^3 a esfera \mathbb{S}^2 centrada na origem e de raio 1.

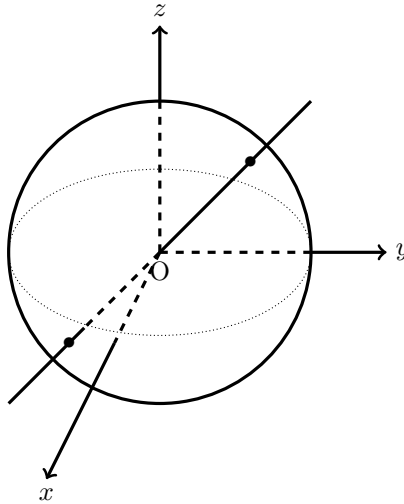


FIGURA 25. Representação do espaço projetivo \mathbb{P}^2 .

[h]

Cada reta de \mathbb{R}^3 passando pela origem (e fora do plano $0xy$) encontra a semiesfera norte em um ponto x_0 . Este ponto é um representante da reta.

As retas do plano $0xy$ encontram a semiesfera norte em dois pontos diametralmente opostos, que temos que identificar. Assim obtemos uma representação do espaço projetivo \mathbb{P}^2 , como sendo a semiesfera norte com identificação de pontos diametralmente opostos no seu bordo. Outra maneira é de considerar a representação plana da figura 26 que é, obviamente uma representação equivalente de \mathbb{P}^2 .

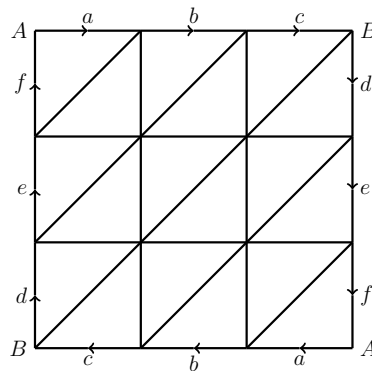


FIGURA 26. Representação plana do espaço projetivo \mathbb{P}^2 .

A característica de Euler-Poincaré de \mathbb{P}^2 vale

$$\chi(\mathbb{P}^2) = n_0 - n_1 + n_2 = 10 - 27 + 18 = +1.$$

O gênero de \mathbb{P}^2 vale 1.

A figura 27 ilustra o fato que \mathbb{P}^2 não é orientável.

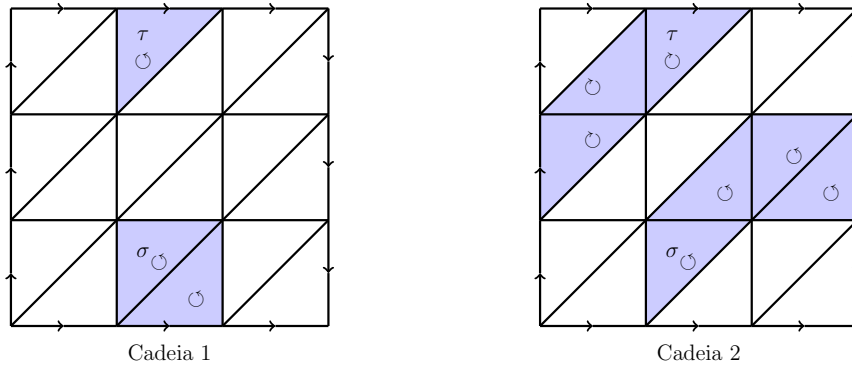


FIGURA 27. O espaço projetivo \mathbb{P}^2 não é orientável: Indo de σ até τ , pela cadeia de simplexos 1 e pela cadeia de simplexos 2, dá orientações diferentes de τ .

A garrafa de Klein G é a superfície representada de uma maneira plana como na figura 28.

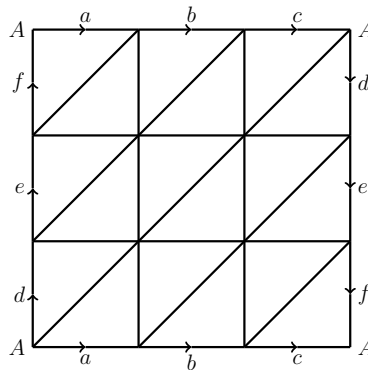


FIGURA 28. Representação plana da garrafa de Klein.

A garrafa de Klein não é orientável, a sua característica de Euler-Poincaré é igual a

$$\chi(G) = n_0 - n_1 + n_2 = 9 - 27 + 18 = 0.$$

No espaço euclidiano, não é possível representar a garrafa de Klein sem “autointersecção”(veja Figura 29). E impossível preencher de água (ou outro líquido !) na garrafa de Klein.

A garrafa de Klein é a soma conexa de dois planos projetivos.

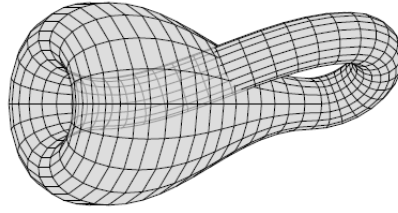


FIGURA 29. A garrafa de Klein.

De uma maneira geral, para uma superfície não orientável, de gênero k , a característica de Euler-Poincaré vale $2 - k$. Uma superfície não orientável de gênero k é homeomorfa à soma conexa de k espaços \mathbb{P}^2 .

4.7. Generalizações.

4.7.1. *Superfícies singulares.* É possível de calcular a característica de Euler-Poincaré de uma superfície singular do mesmo jeito do que no caso liso. Por exemplo, a característica de Euler-Poincaré do toro pinçado vale 1 qualquer que seja a triângulação do toro pinçado. Na figura 30 temos

$$\chi(X) = n_0 - n_1 + n_2 = 7 - 18 + 12 = 1.$$

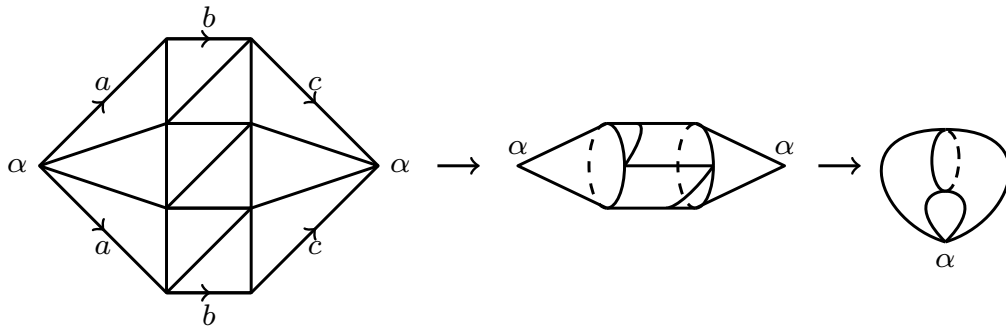


FIGURA 30. O toro pinçado.

4.7.2. *Dimensões maiores.* No caso de espaços de dimensão maior do que 2, consideramos espaços X compactos, conexos, de dimensão pura k . Isto é todo ponto de X pertence ao fecho de (ao menos) um simplexo de dimensão k de uma triângulação K de X .

É claro que, neste caso, K admite simplexos de todas dimensões de 0 até k . Um simplexo padrão de dimensão i é representado no espaço euclidiano \mathbb{R}^{i+1} de coordenadas (x_1, \dots, x_{i+1}) como o conjunto de pontos tais que $\sum_{\alpha=1}^{i+1} x_\alpha = 1$ e $0 \leq x_i \leq 1$ para tudo i .

Denotamos por n_i o número de simplexos de dimensão i em K ($i = 0, \dots, k$).

Poincaré mostrou (no ano 1893) que a soma

$$\chi(X) = \sum_{i=0}^k (-1)^i n_i$$

não depende da triângulação K do espaço X . Este é a definição da característica de Euler-Poincaré de um espaço X de dimensão k , que definitivamente deveria ser chamada de *característica de Descartes-Poincaré*.

REFERÊNCIAS

- [dJ1] E. de Jonquières, *Note sur un Mémoire de Descartes longtemps inédit et sur les titres de son auteur à la priorité d'une découverte dans la théorie des polyèdres*. *Compte-Rendus des Séances de l'Académie des Sciences* 110, 1890, pp. 261–266.
- [dJ2] E. de Jonquières, *Ecrit posthume de Descartes sur les polyèdres*. *Compte-Rendus des Séances de l'Académie des Sciences* 110, 1890, pp. 315–317.
- [dJ3] E. de Jonquières, *Note sur un Mémoire présenté, qui contient, avec le texte complet et revu de l'écrit posthume de Descartes: De solidorum elementis, la traduction et le commentaire de cet ouvrage*. *Compte-Rendus des Séances de l'Académie des Sciences* .
- [De] R. Descartes, *De solidorum elementis*, *Oeuvres de Descartes*, vol 10, Paris 1908, 256–276.
- [Epp] D. Eppstein, *Geometry Junkyard Nineteen Proofs of Euler Formula*,
<https://www.ics.uci.edu/~eppstein/junkyard/euler/>
- [Eu1] L. Euler, *Leonard Euler und Christian Goldbach, Briefwechsel, 1729-1764*, Heransgegeben und eingeleitet von A.P. Juškevič und E. Winter, Berlin Akademie-Verlag 1965.
- [Eu2] L. Euler, *Demonstratio nonularum insignium proprietatum, quibus solida hedris planis inclusa sunt praedita* 1751. *Novi Comment. acad. sc. Petrop.* t.4 (1752-53) Saint Pétersbourg, 1758, p. 140-160.
- [Fo] Foucher de Careil, *Oeuvres inédites de Descartes précédées d'une introduction sur la méthode*, 2 volumes, Paris, 1859, 1860.
- [Lhu] S.A.J. Lhuilier, *Mémoire sur la polyédrométrie, contenant une démonstration du théorème d'Euler sur les polyèdres, et un examen de diverses exceptions auxquelles ce théorème est assujetti*, Gergonne *Ann. Math.* 3, 1812, p.169.
- [Li] E. Lima, *A característica de Euler-Poincaré*, *Matemática Universitária*, Sociedade Mathematica Brasileira, No 1, Junho 1985, pp 47–62.
- [Po2] H. Poincaré, *Sur l'Analysis situs*, *CRAS* vol. 115 (1892) 633-636.
- [Po3] H. Poincaré, *Sur la généralisation d'un théorème d'Euler relatif aux polyèdres*, *CRAS* vol. 117 (1893) 144.

CNRS I2M E AIX-MARSEILLE UNIVERSITÉ, MARSEILLE, FRANCE.

E-mail address: `jean-paul.brassellet@univ-amu.fr`

UNESP, UNIVERSIDADE ESTADUAL PAULISTA, “JÚLIO DE MESQUITA FILHO”, SÃO JOSÉ DO RIO PRETO, BRASIL

E-mail address: `bichthuy@ibilce.unesp.br`